

# Список литературы

- [1] Алхазов Г.Д., Берлович Э.Е., Пантелейев В.Н. // Письма в ЖТФ. 1988. Т. 14. В. 12. С. 1109-1112.
- [2] Kirschner R. // Nucl. Instr. Meth. 1981. V. 186. P. 275-293.

Поступило в Редакцию  
3 марта 1990 г.

Письма в ЖТФ, том 16, вып. 12

26 июня 1990 г.

07

© 1990

## 2.7-МИКРОННЫЙ ЧЕТЫРЕХУРОВНЕВЫЙ ЛАЗЕР НА КРИСТАЛЛАХ $Y_3Al_5O_{12}:Cr, Tm-Er$

Б.М. А н т и п е н к о, Л.Е. Д о л г о б о р о д о в,  
В.А. П и с ъ м е н н и й, Т.И. К и с е л е в а

К трехмикронным эрбьевым лазерам сохраняется устойчивый интерес благодаря идеальному согласованию их спектра генерации с полосами поглощения биотканей и вытекающим отсюда благоприятным перспективам использования этих лазеров в медицине. Наиболее продвинутые в технологическом и исследовательском аспектах эрбьевые лазерные среды:  $Y_3Al_5O_{12}-Er$  [1] и  $YSGG:Cr-Er$  [2] работают в режиме самоограничения генерации, частично сни-  
маемого процессом суммирования возбуждений  $^{4}I_{13/2}$  - уровня иона  $Er^{3+}$ . В данной работе исследована 2.7-микронная эрбьевая (переход  $^{4}I_{11/2} - ^{4}I_{13/2}$ ) среда  $Y_3Al_5O_{12}:Cr, Tm-Er$  с четырех уровневой схемой генерации. При конструировании среды мы воспользовались предложенным в [3] принципом снятия самоограничения генерации, состоящим в принудительном расселении нижнего рабочего уровня процессом переноса энергии на тушашую примесь, и методом сенсибилизации лазерного перехода. На возможность сенсибилизации трехмикронного канала иона  $Er^{3+}$  ионами  $Cr^{3+}$  в кристаллах граната указывалось в [4].

Нами исследовались кристаллы  $Y_3Al_5O_{12}$ , соактивированные ионами  $Cr^{3+}$  ( $2 \cdot 10^{20} \text{ см}^{-3}$  по шихте),  $Tm^{3+}$  (1 ат.%) и  $Er^{3+}$  (15 ат. %). Изучение кинетики энергодвижения в этих кристаллах показало, что время выхода  $\sim 70\%$  возбуждений из полоснакачки среды  $^{4}A_2 - ^{4}T_2$ , принадлежащим ионам  $Cr^{3+}$ , на рабочий

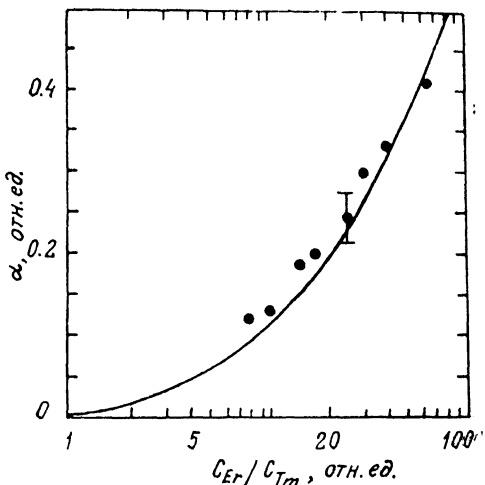


Рис. 1. Функция квазистационарного распределения возбуждений по резонансно взаимодействующим уровням  $^3F_4$  ( $T_m$ ) и  $^4I_{13/2}$  ( $Er$ ) в кристаллах  $Y_3Al_5O_{12}:Cr$ ,  $Tm-Er$  ( $\alpha = n(^4I_{13/2})/(n(^4I_{13/2}) + n(^3F_4))$  - доля обобществленных возбуждений, локализующихся на уровне  $^4I_{13/2}$ ,  $C_{Er}$  и  $C_{Tm}$  - концентрации ионов  $Er^{3+}$  и  $Tm^{3+}$ ). Сплошная кривая - расчет в предположении большемановского распределения частиц по штарковским подуровням  $^4I_{13/2}$  и  $^3F_4$ , точки - данные из эксперимента по селективному возбуждению  $^4I_{13/2}$  - уровня моноимпульсным излучением 1.5 - микронного эрбииевого лазера.

уровень  $^4I_{11/2}$  иона  $Er^{3+}$  не превышает 20 нс, время жизни  $^4I_{11/2}$  - уровня равняется 90 мкс, а характеристическое время установления квазистационарного распределения возбуждений по уровням  $^4I_{13/2}$  иона  $Er^{3+}$  и  $^3F_4$  иона  $Tm^{3+}$  составляет 20 мкс. Благодаря последнему обстоятельству эффективный статус нижнего рабочего уровня  $^4I_{13/2}$  повышается не менее, чем на порядок (см. рис. 1), причем процесс его расселения может стать „узким горлом“ лишь при пятикратном превышении порога генерации.

На основании отмеченных спектроскопических свойств среды  $Y_3Al_5O_{12} : Cr$ ,  $Tm-Er$  разумно ожидать четырехуровневой кинетики ее генерации. На рис. 2 приведена осциллограмма 2.7-микронной генерации кристалла  $Y_3Al_5O_{12} : Cr$ ,  $Tm$  (1 ат. %)- $Er$  (15 ат. %) при ламповом возбуждении. Строгая пропорциональность, наблюдаемая между мощностью генерации и мощностью накачки, свидетельствует о четырехуровневом характере лазерного процесса. К другим экспериментальным фактам, подтверждающим это,

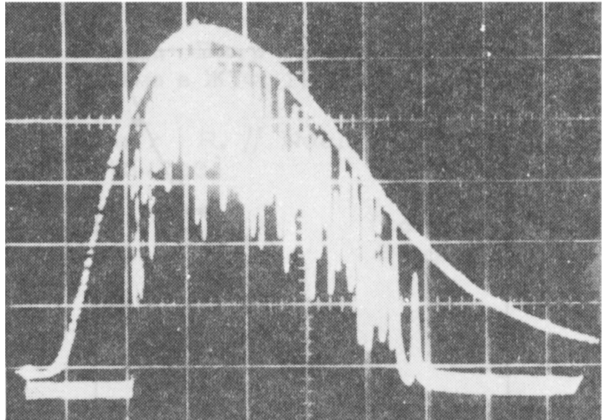


Рис. 2. Осциллограммы 2,7-микронной генерации (внизу) кристалла  $Y_3Al_5O_{12}: Cr, Tm$  (1 ат. %)-Er (15 ат. %) и излучения лампы накачки (вверху). Система накачки: цилиндрический моноблок  $\phi 28 \times 60$  мм из КЛЖ, импульсная лампа ИНП 5/60, хладагент -  $H_2O$ , освещиваемый объем активного элемента  $\phi 4 \times 54$  мм. Резонатор: плоские диэлектрические зеркала с пропусканием  $< 0.5\%$  и 15 % на линии 2.7 мкм, длина резонатора 150 мм. Развертка по горизонтали: 20 мкс/дел. Энергия накачки - 75 Дж, энергия генерации 40 мДж.

относится спектральная конденсация генерации в неселективном резонаторе на линии 2.697 мкм<sup>1</sup> и возможность перестройки длины волны генерации по всему спектру межштарковских переходов между уровнями  $^4I_{11/2}$  и  $^4I_{13/2}$ .

С помощью дифракционной решетки (максимум ее отражения 80 % находился в области 2 мкм) нами получена дискретная перестройка длины волны генерации в диапазоне 2.62-2.94 мкм с фиксацией на 12-ти линиях - 2.625<sup>н</sup>, 2.655<sup>н</sup>, 2.697, 2.715<sup>н</sup>, 2.737<sup>н</sup>, 2.798, 2.807<sup>н</sup>, 2.833, 2.858<sup>к</sup>, 2.873<sup>н</sup>, 2.902<sup>к</sup>, и 2.940 мкм, отвечающих максимумам спектра 3-микронной люминесценции кристаллов  $Y_3Al_5O_{12}-Er$  [5]. Индексом „н“ отмечены линии генерации, полученные впервые, индексом „к“ - линии, полученные впервые при  $T = 300$  К. На линиях 2.697 и 2.807 мкм отмечен режим частичной модуляции генерации, обусловленный насыщающимися

<sup>1</sup> Другие линии генерации если и присутствовали в спектре, то они не менее чем в  $10^3$  раз (аппаратурный предел) слабее линии 2.697 мкм. Здесь и далее погрешность измерения длины волны генерации составляет  $\pm 0.005$  мкм.

потерями резонатора, вносимыми атмосферой.

В заключение оценим предельный КПД 2.7-микронной генерации исследованной среды при использованных нами условиях накачки. КПД четырехуровневого лазера определяется следующей комбинацией сомножителей:

$$\eta = \theta \cdot \frac{v_r}{v_H} \left(1 - \frac{1}{X}\right) \frac{K_r}{K_r + \rho},$$

где  $\theta$  - эффективность накачки среды,  $v_r/v_H$  - стоксов сдвиг,  $X$  - превышение над порогом,  $K_r$  и  $\rho$  - коэффициент связи резонатора и внутрирезонаторные потери. Считая теплопроводность кристаллов  $Y_3Al_5O_{12}:Cr$ ,  $Tm-Er$  равно теплопроводности  $Y_3Al_5O_{12}$  -  $Er$  [1], и, измерив квазистационарную тепловую линзу, наводимую в активном элементе, мы оценили значение  $\theta$  в 7 %. В осветителе использовался моноблок из КЛЖ с границей пропускания на 480 нм, поэтому средний квант накачки близок к  $17000 \text{ см}^{-1}$ . Полагая  $X = 5$  и  $K_r \gg \rho$ , для предельного КПД генерации кристаллов  $Y_3Al_5O_{12}:Cr, Tm-Er$  получим значение 1.1 % на уровне накачки 40 Дж.

Дальнейшее увеличение КПД генерации в условиях лампового возбуждения может быть достигнуто, прежде всего, расширением спектра накачки среды за счет включения в него второй полосы поглощения  ${}^4A_2 - {}^4T_1$  ионов  $Cr^{3+}$ . Увеличение КПД может быть получено также переходом к квазистационарным режимам генерации, при которых процесс суммирования возбуждений

$$|{}^4I_{13/2}(Er), {}^3F_4(Tm)\rangle \rightarrow |{}^4I_{9/2}(Er), {}^3H_6(Tm)\rangle$$

начнет эффективно подпитывать лазерный канал энергий, запасенной на накопительных уровнях системы -  ${}^4I_{13/2}(Er)$  и  ${}^3F_4(Tm)$ . Мы обнаружили, что при надпороговых накачках скорость указанного суммирующего процесса в несколько раз превосходит скорость спонтанного распада уровней  ${}^4I_{13/2}$  и  ${}^3F_4$ .

На исследованном кристалле нами реализована частотно-импульсная (3 Гц) генерация с выходной мощностью 0.3 Вт при средней мощности накачки 210 Вт. Низкая эффективность лазера была обусловлена высокими неактивными потерями резонатора ( $\rho \approx 0.04 \text{ см}^{-1}$ ), связанными с поглощением атмосферы на длине волны генерации и отсутствием просветления на торцах активного элемента. Оценка КПД генерации по приведенной выше формуле, используя реальные величины  $\theta = 7\%$ ,  $v_r/v_H = 0.2$ ,  $X = 3, 5$ ,  $K_r/(K_r + \rho) = 0.25$ , дает значение 0.25 %, близкое к наблюдаемому в эксперименте (0.14 %).

<sup>2</sup> Из рис. 2 следует, что порог генерации составляет  $\sim 8$  Дж, при условии, что длительность импульса накачки короче времени жизни верхнего рабочего уровня.

- [1] Лазер на кристаллах иттрий-эрбий-алюминиевого граната. Труды ИОФАН, т. 19 / Под ред. Т.М. Муриной. М.: Наука, 1989. 152 с.
- [2] Жариков Е.В., Осико В.В., Прохоров А.М., Шербаков И.А. // Изв. АН СССР. Сер. физ. 1984. Т. 48. № 7. С. 1330–1342.
- [3] Johnson L.E., Guggenheim H.J. // IEEE J. Quant. Electron. 1974. V. QE-10. N 4. P.442–449.
- [4] Каминский А.А., Петросян А.Г. // Изв. АН СССР. Сер. неорг. мат. 1979. Т. 15. № 3. С. 543–544.
- [5] Huber G., Duszynski E.W., Mitzcherlich P., Teichmann H.O., Lumma D. // J. Phys. 1987. V. 48. N 12. P. C7-347–C7-349.

Поступило в Редакцию  
24 января 1990 г.  
В окончательной редакции  
25 апреля 1990 г.

Письма в ЖТФ, том 16, вып. 12

26 июня 1990 г.

01; 05.2

© 1990

О ПОРОГЕ ПРОТЕКАНИЯ В ДИСПЕРСНЫХ СМЕСЯХ  
ПРИ СЖАТИИ

Е.Г. Фатеев

На основе соотношений, связывающих изменение относительной проводимости однофазного пористого тела с давлением при одноосном сжатии, имеющих вид [1]

$$\Lambda_i = \Lambda_{i0} B_i = \Lambda_{i0} \frac{P_i}{P_{i0}} \left[ 1 - A_i^{2/3} \right] \left[ 1 + \frac{4}{9} A_i \right]^{1/2}, \quad (1)$$

где

$$A_i = 1 - \theta_i = 1 - \frac{1}{3} \left( \frac{P_i}{P_{i0}} \right)^2 \left( -\frac{2}{3} + \sqrt{\frac{4}{9} + 13 \left( \frac{P_{i0}}{P_i} \right)^2} \right),$$

исследуется зависимость порога протекания обобщенного тока в многокомпонентных дисперсных смесях при сжатии. Здесь  $\Lambda_i$  и  $\Lambda_{i0}$  – обобщенные проводимости  $i$ -тых фаз дисперсной смеси в про-